

Utilización de modelos celulares *in vitro* para la optimización de sistema de liberación controlada de antitumorales

María Jesús Garrido

Dpto. Farmacia y Tecnología Farmacéutica

Universidad de Navarra

¿Por qué sistemas *in vitro*?

- Permiten explorar y cuantificar procesos propiamente celulares además, de procesos o mecanismos debidos a la acción del agente que se ensaye.
- Es posible medir la evolución temporal de una respuesta concreta.
- Posibilidad de evaluar combinaciones farmacológicas.

Principal Limitación

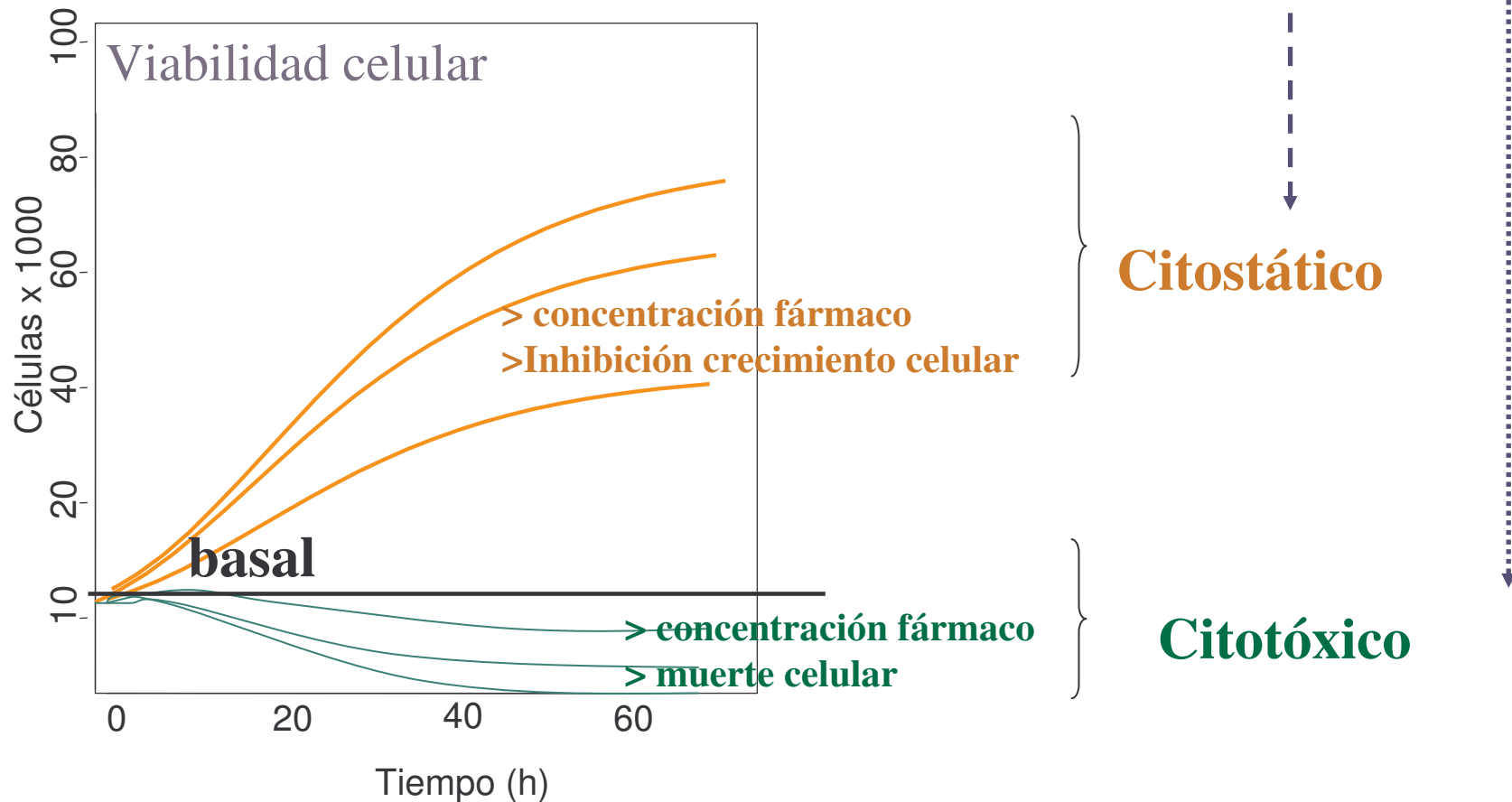
- Se ignoran procesos de regulación o feed-back debidos a la propia fisiología o fisiopatología del individuo.

Antitumorales

- **Principales Mecanismos:**

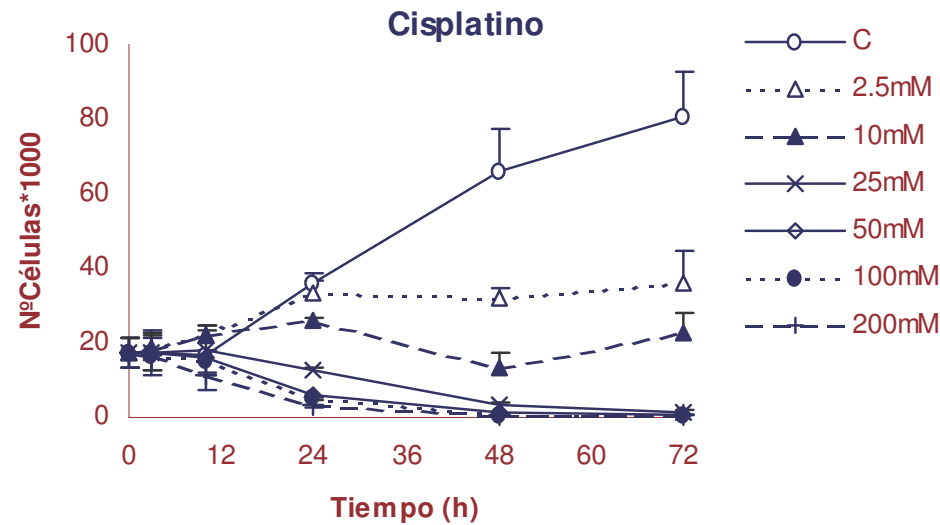
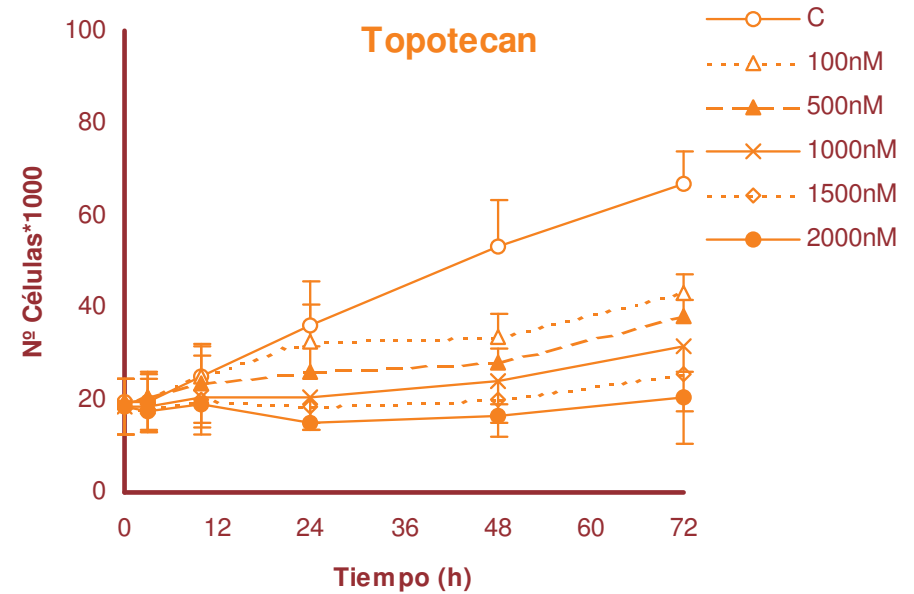
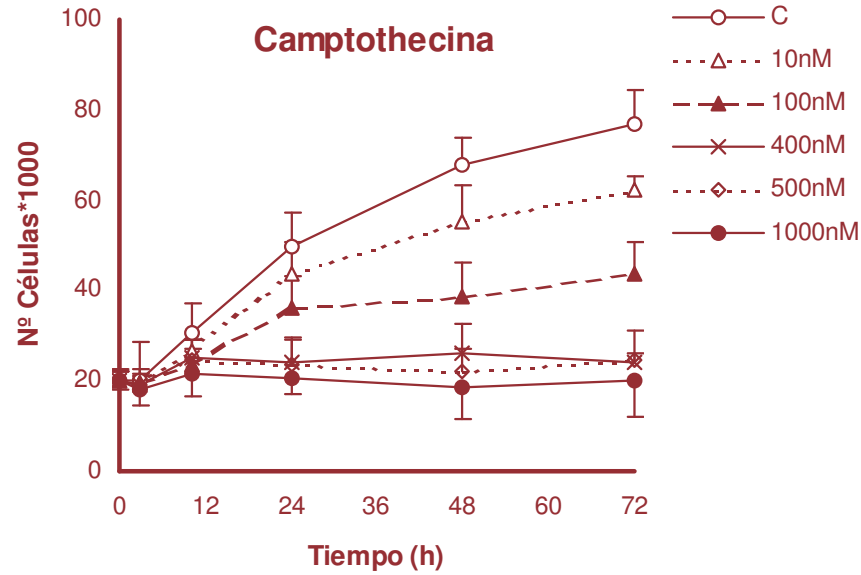
- Mecanismos Citostáticos
- Mecanismos Citotóxicos

Mecanismo de Acción Fármaco

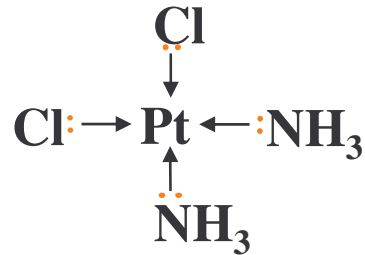


Tiempo de exposición al fármaco antitumoral

Ejemplo de ambos mecanismos



**CISPLATINO
(CDDP)**



Cisplatino

- Agente alquilante → uniones de tipo covalente ADN
- Capacidad antitumoral en gran variedad de tumores sólidos (testículo, ovario, vejiga, pulmón ...)
- Eficacia limitada en cáncer de colon
- Alta toxicidad y fenómenos de resistencia

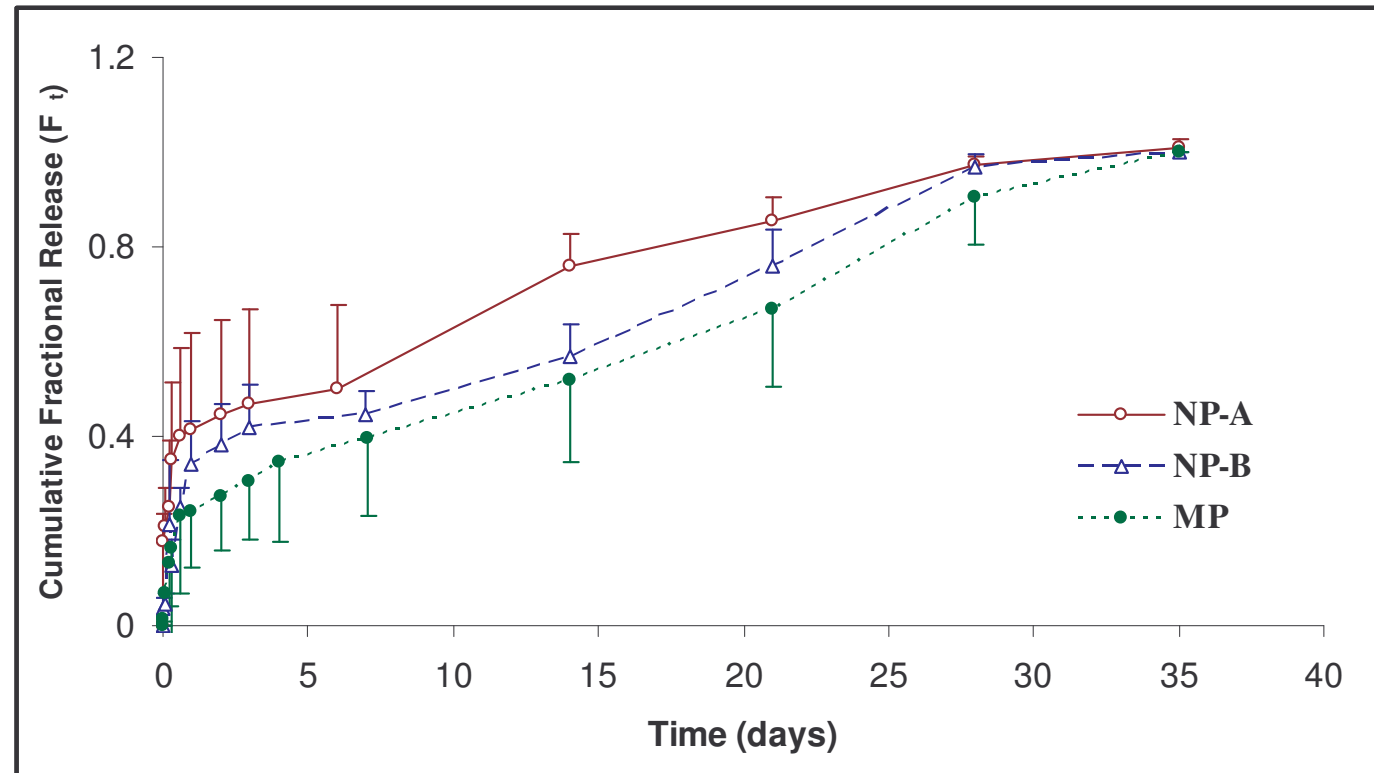
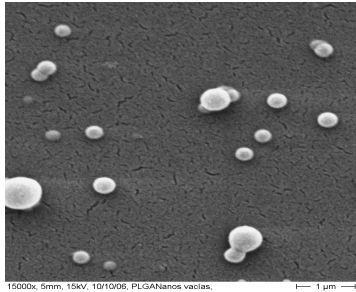
Antecedentes:

- Administraciones continuas de niveles subterapéuticos causaban una activación mayor de apoptosis que una administración de dosis elevada.
- Nanopartículas de paclitaxel eran capaces de superar los fenómenos resistencia.

Objetivos

- Desarrollar formulaciones de liberación controlada para disminuir la toxicidad y/o aumentar la eficacia del cisplatino.
- La caracterización *in vitro* del efecto antiproliferativo de las distintas formas de liberación controlada de cisplatino.
 - Combinando sistemas de cultivos celulares y técnicas de modelización matemática

Caracterización de los perfiles de liberación de cisplatino desde las distintas formulaciones



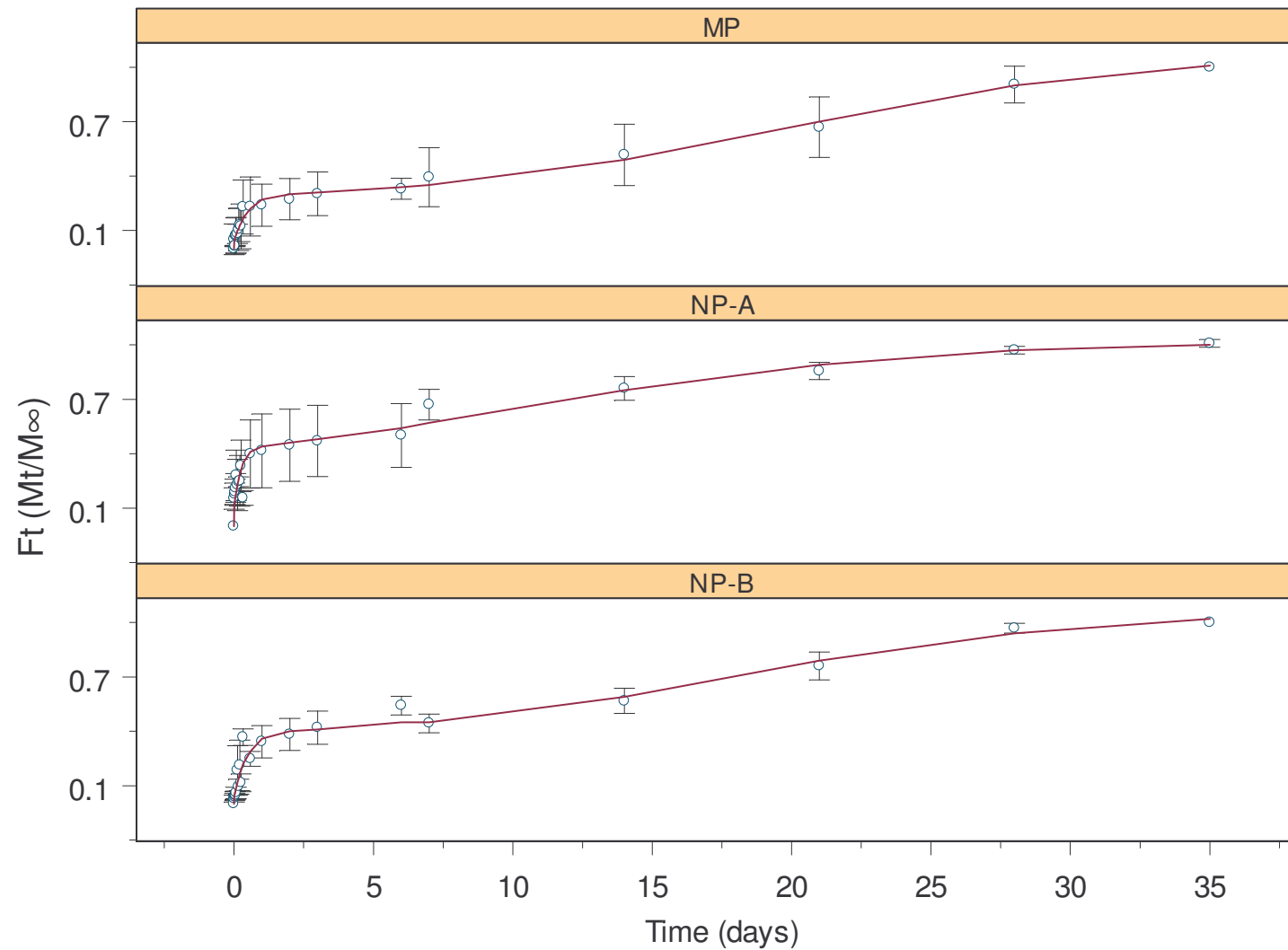
Ecuación

- Fase de difusión: A y k_1
- Fase de entrada de agua a la matriz: T_{50}
- Fase de degradación de la matriz: B y k_2

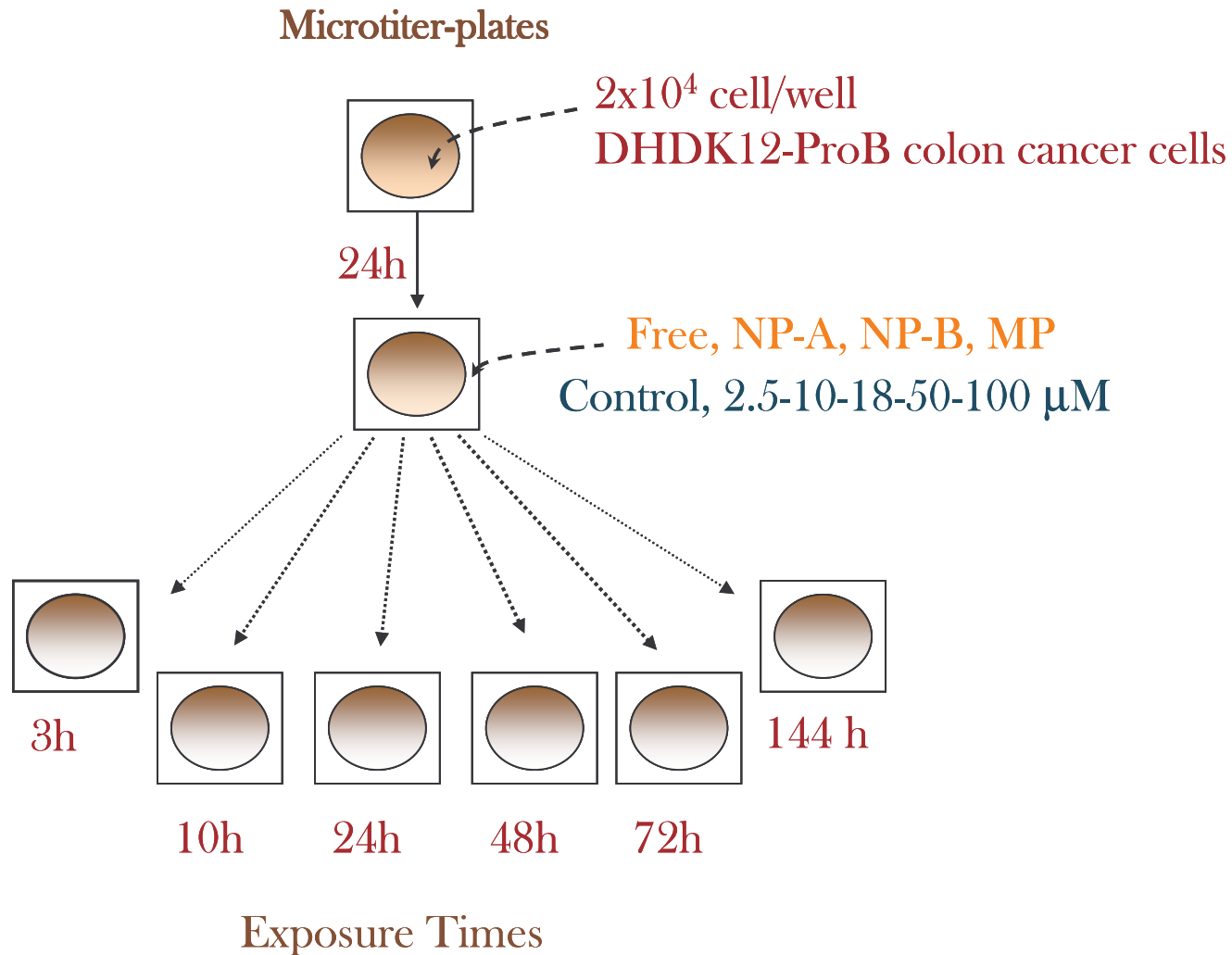
$$\frac{M_t}{M_\infty} = A \times \left(1 - e^{-k_1 t}\right) + \frac{B}{\left(1 + e^{-k_2 (t - T_{50})}\right)}$$

where, A is the fraction of drug released during the phase I, k_1 is the release rate constant during this phase; B is the fraction of total drug released during the phase III, k_2 is the release rate constant during this phase and T_{50} is the time taken to release 50% of entrapped drug

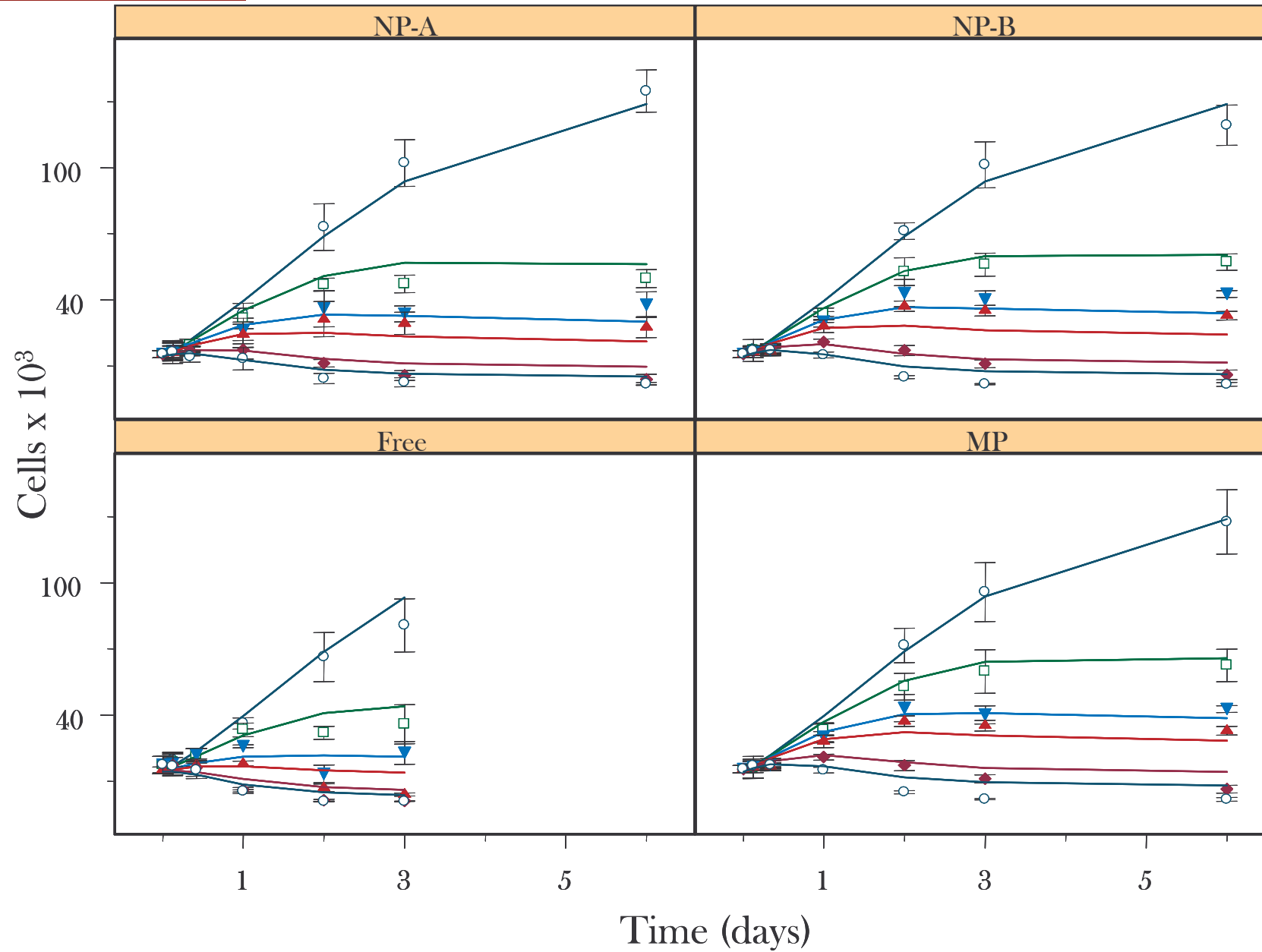
Descripción de los perfiles de liberación de cisplatino



Aplicación de las diferentes formas farmacéuticas

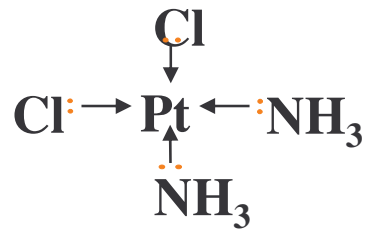


Descripción del efecto antiproliferativo



Cisplatino

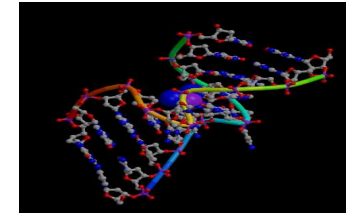
**CISPLATINO
(CDDP)**



- Agente alquilante → uniones de tipo covalente ADN

Mecanismo de acción

ADUCTOS CDDP-ADN
INHIBICIÓN PROCESOS TRANSDUCCIÓN Y REPLICACIÓN



PARO DEL CICLO CELULAR

(Sistemas Control Celular: CHECKPOINT) →

ACUMULACIÓN CÉLULAS FASE G2/M

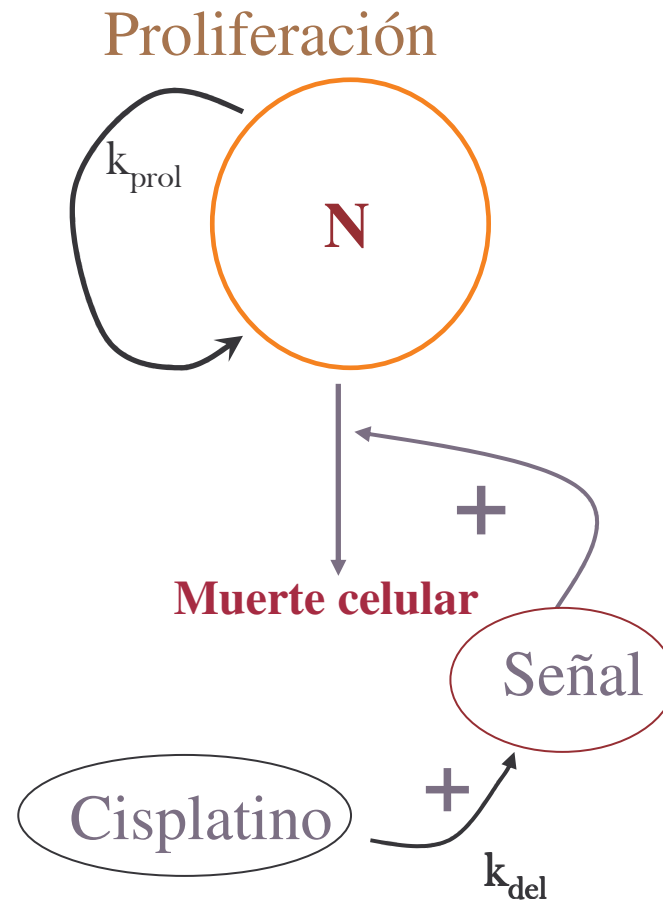
ACTIVACIÓN CASCADA TRANSDUCCIÓN DE SEÑALES APOPTÓTICAS

PROTEASAS FAMILIA CASPASAS → CASPASA-3

MUERTE CELULAR PROGRAMADA → APOPTOSIS / MUERTE MITÓTICA
(FRAGMENTACIÓN DEL ADN)

Mecanismo de acción “*in vitro*”

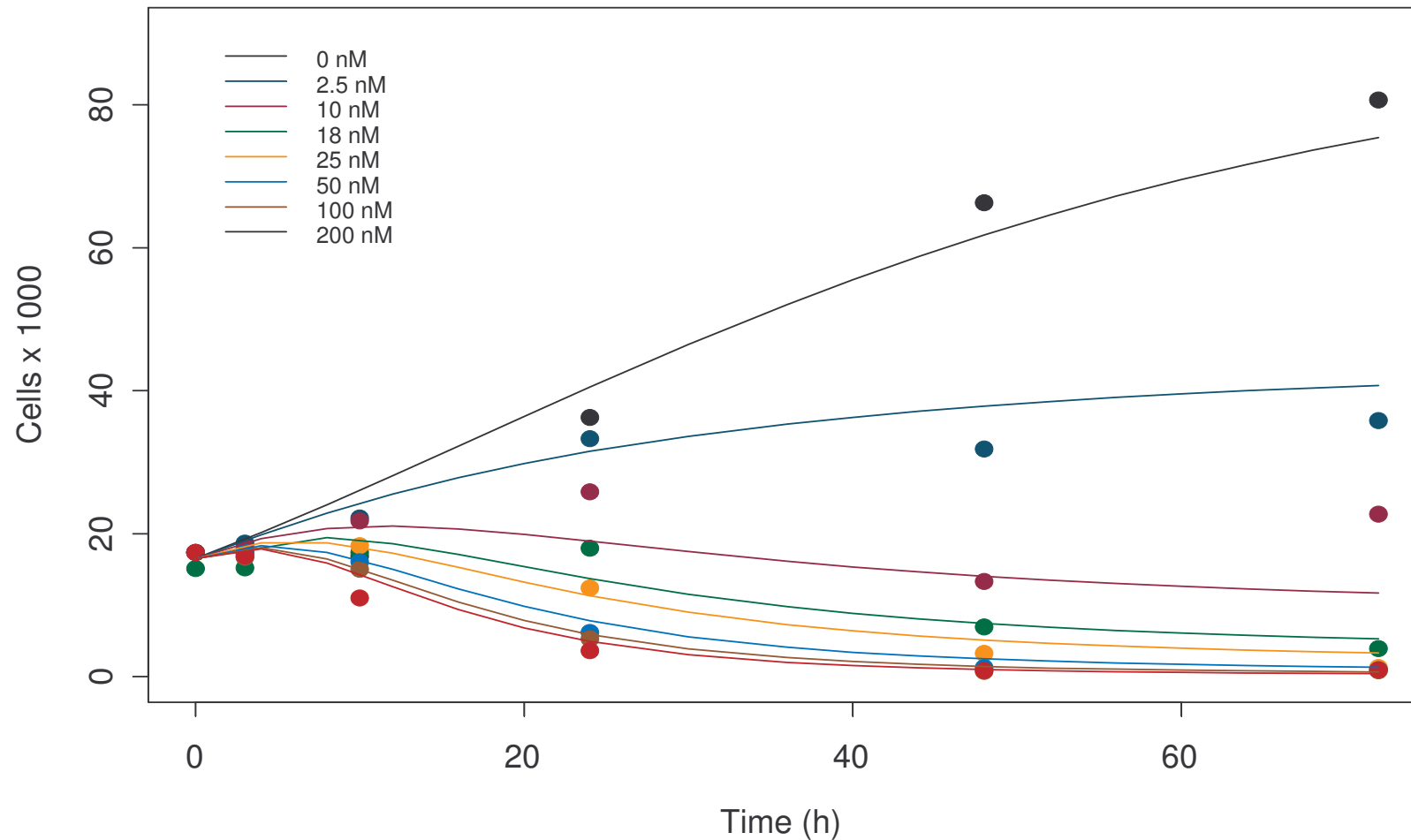
Modelo de citotoxicidad



Modelización

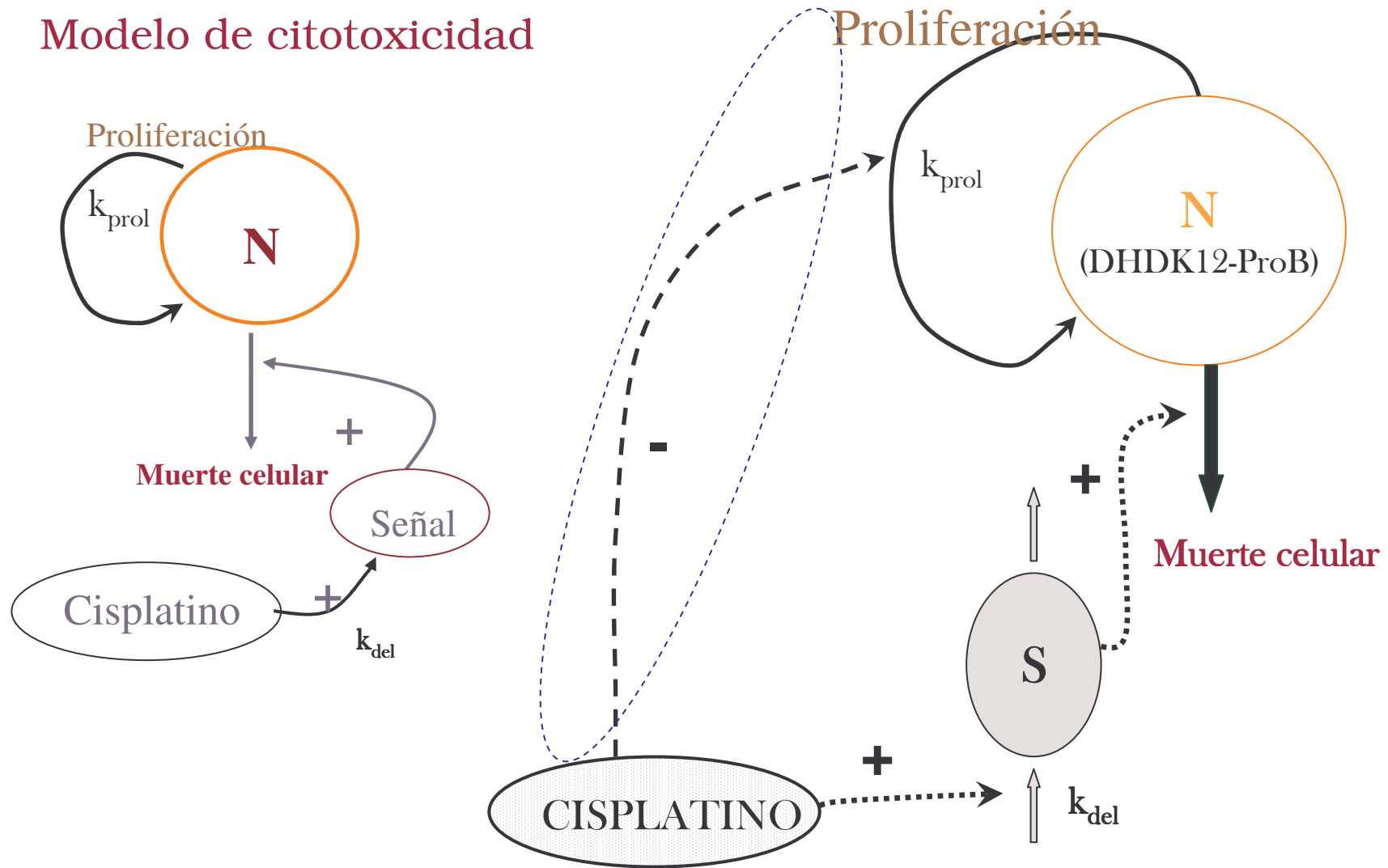
Cisplatino

Mecanismo de Acción Citotóxico

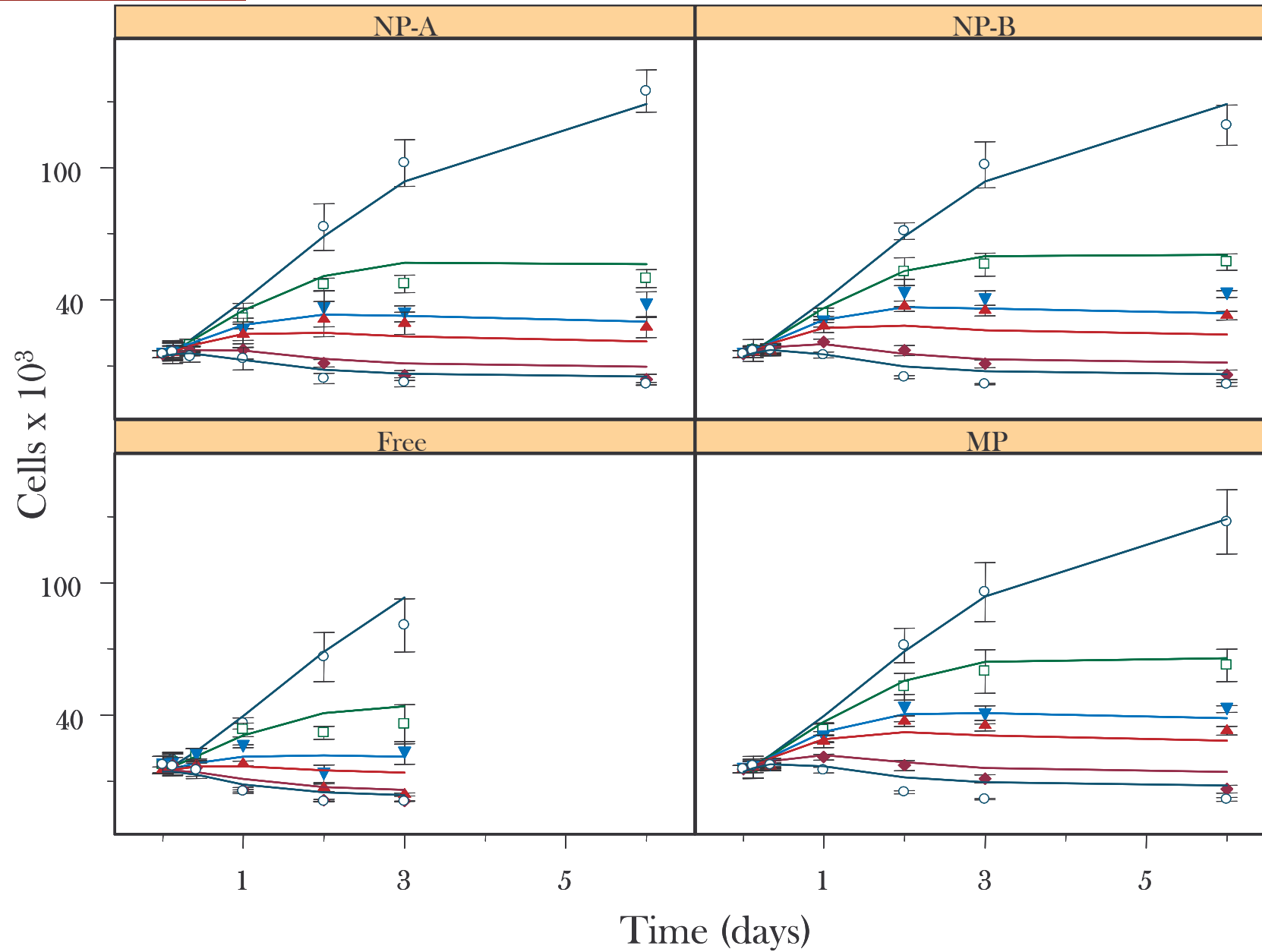


Mecanismo de acción “in vitro”

Modelo de citotoxicidad



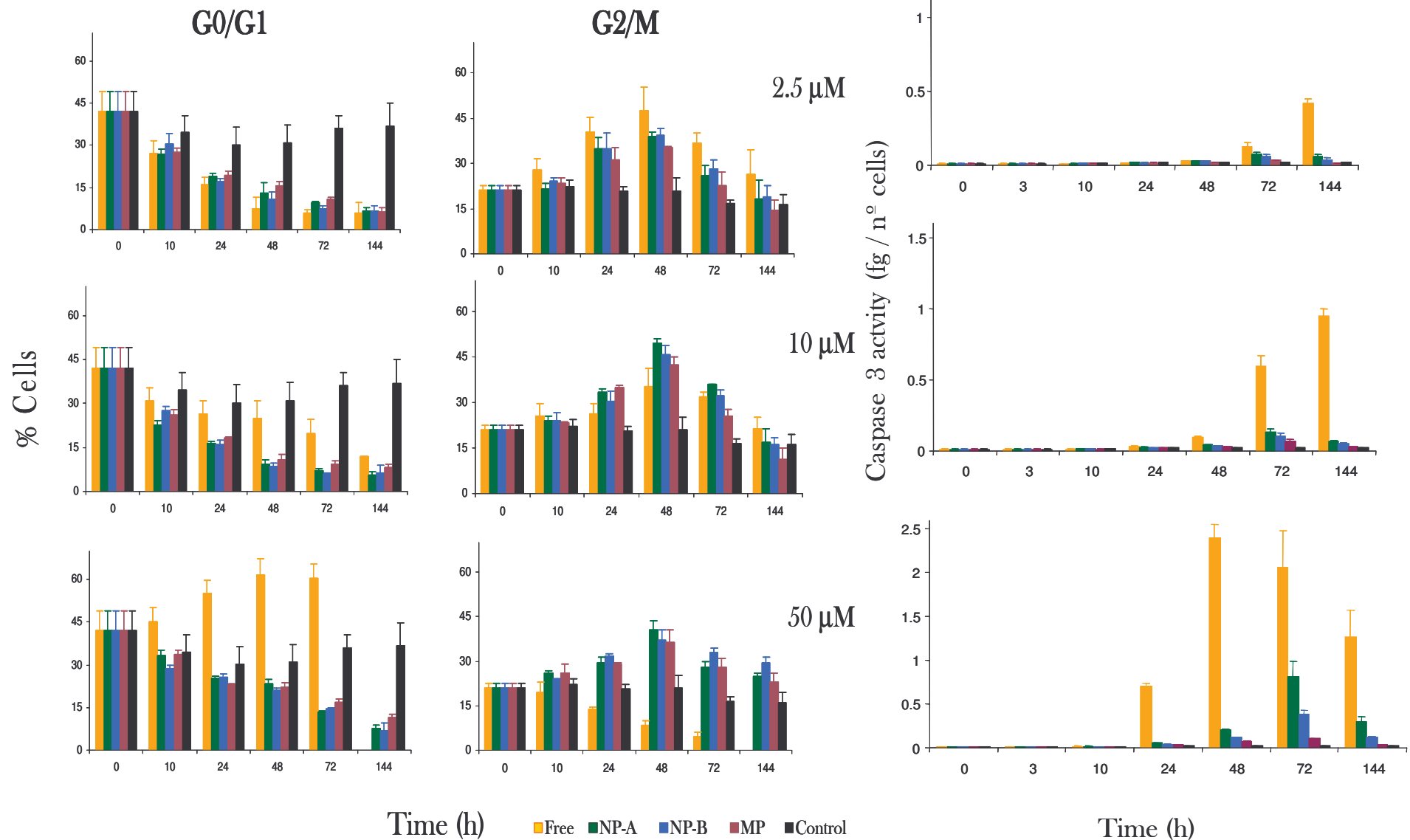
Descripción del efecto antiproliferativo



Mecanismo de acción

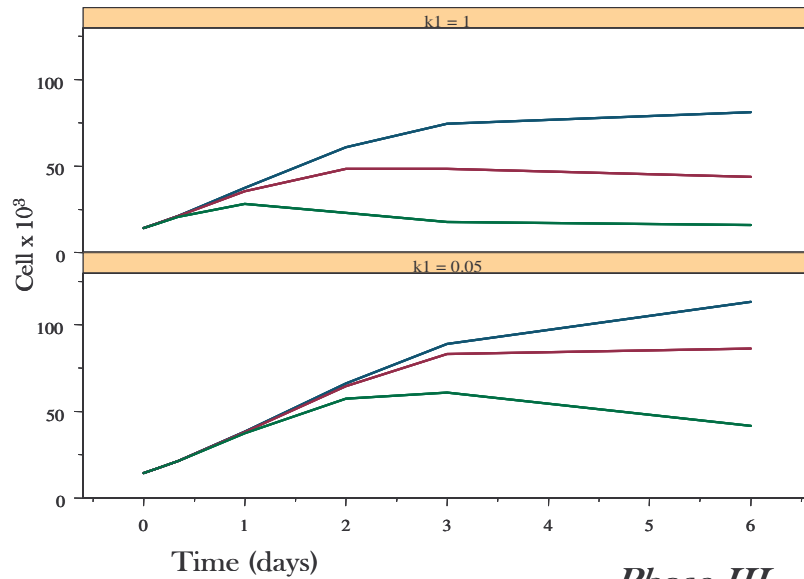
Ciclo celular

Activación Caspasa-3

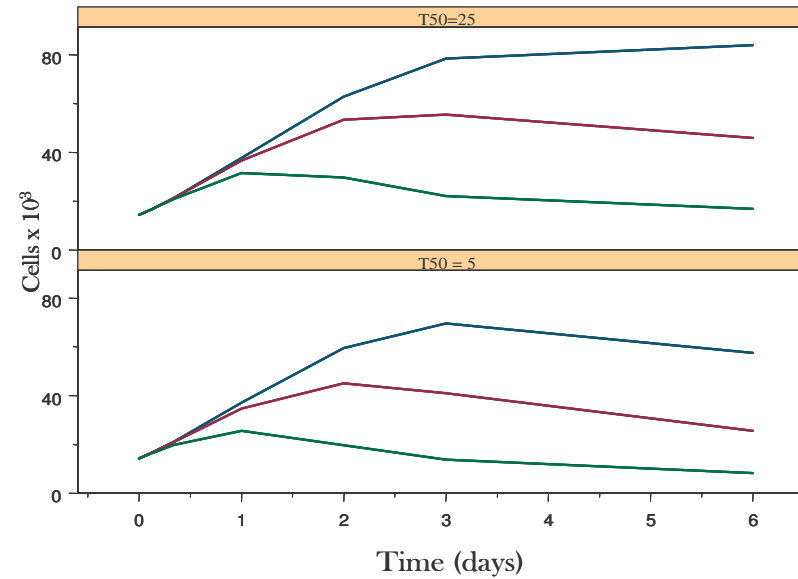


Aplicación *in silico* para optimizar las formulaciones

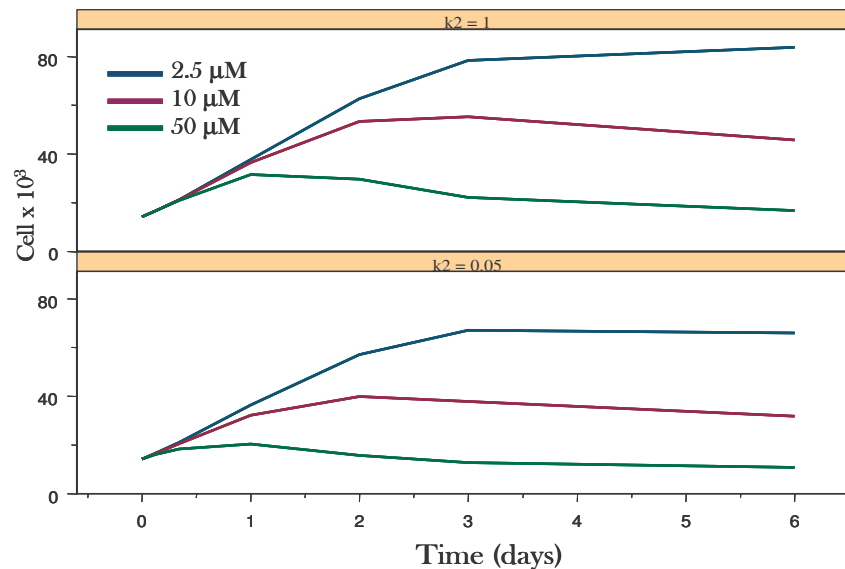
Phase I



Phase II



Phase III



Conditions for simulations:

Phase I
 $A = 0.25$; $B = 0.75$
 $T_{50} = 25$; $k_2 = 0.5$

Phase II
 $A = 0.25$; $B = 0.75$
 $k_1 = 0.5$; $k_2 = 0.5$

Phase III
 $A = 0.25$; $B = 0.75$
 $k_1 = 0.5$; $T_{50} = 25$

k_1, k_2 (day⁻¹)
 T_{50} (days)

Conclusiones

- Mediante esta estrategia fue posible identificar y cuantificar dos mecanismos de acción para el cisplatino:
 - El primero: “inhibición de la proliferación” apoyado por el efecto observado en ciclo celular
 - El segundo muerte celular por activación de la vía apoptótica debida a la caspasa-3.
- El modelo concentración-efecto propuesto tuvo características semi-mecanicista apoyadas por los resultados observados, y resultó una buena herramienta para explorar *in silico* la optimización de las formulaciones para su posterior uso en sistemas *in vivo*



Contents lists available at ScienceDirect

European Journal of Pharmaceutical Sciences

journal homepage: www.elsevier.com/locate/ejps



Biopharmaceutic and pharmacodynamic modeling of the in vitro antiproliferative effect of new controlled delivery systems of cisplatin

Daniel Moreno^a, Sara Zalba^a, Helena Colom^b, Iñaki F. Trocóniz^a, Conchita Tros de Ilarduya^a, María J. Garrido^{a,*}

^a Department of Pharmacy and Pharmaceutical Technology, School of Pharmacy, University of Navarra, Irunlarrea, 1, 31008-Pamplona, Spain

^b Department of Pharmacy and Pharmaceutical Technology, School of Pharmacy, University of Barcelona, Spain

NANOPARTÍCULAS CISPLATINO

FARMACOCINÉTICA



FARMACODINAMIA

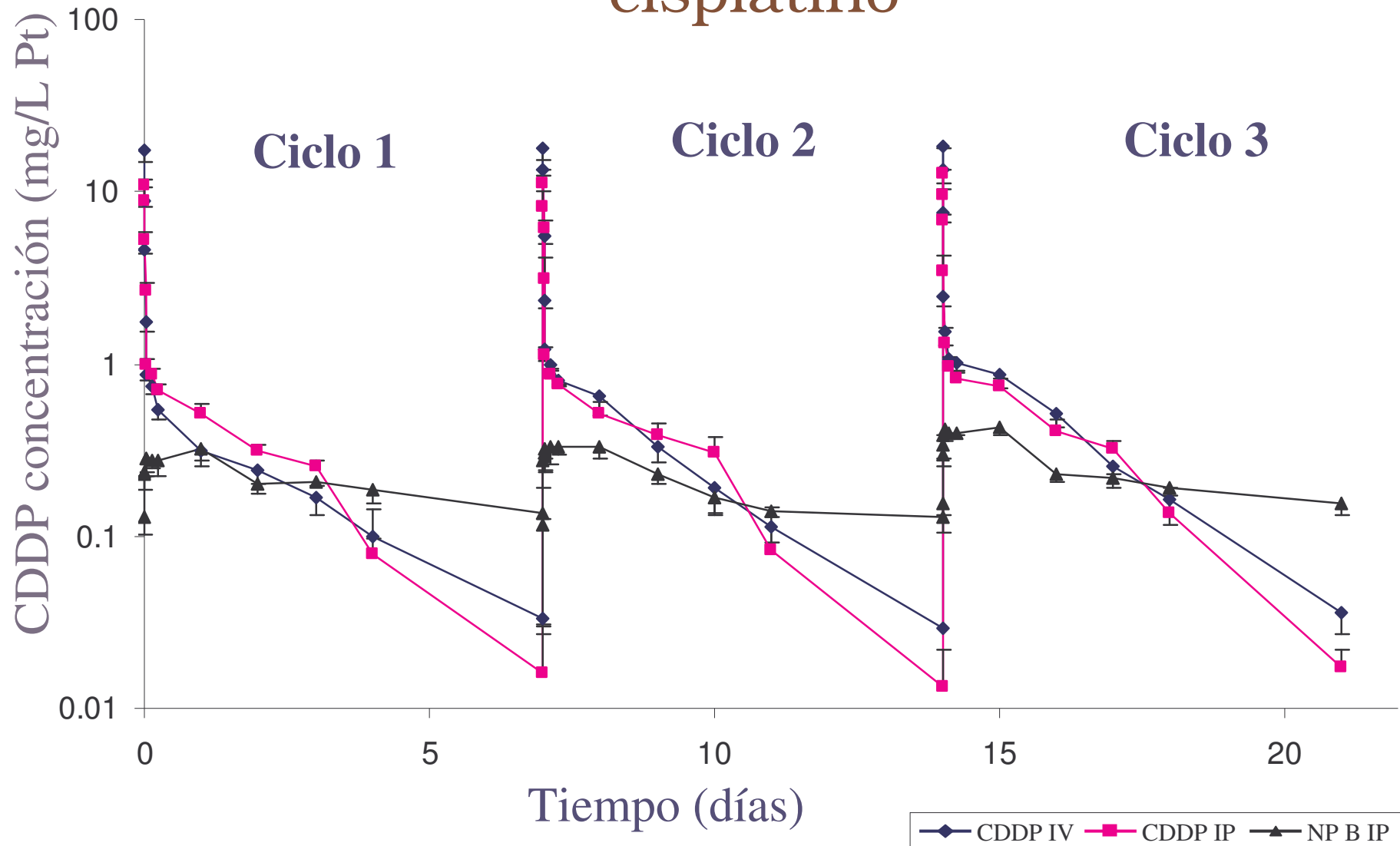


EFICACIA

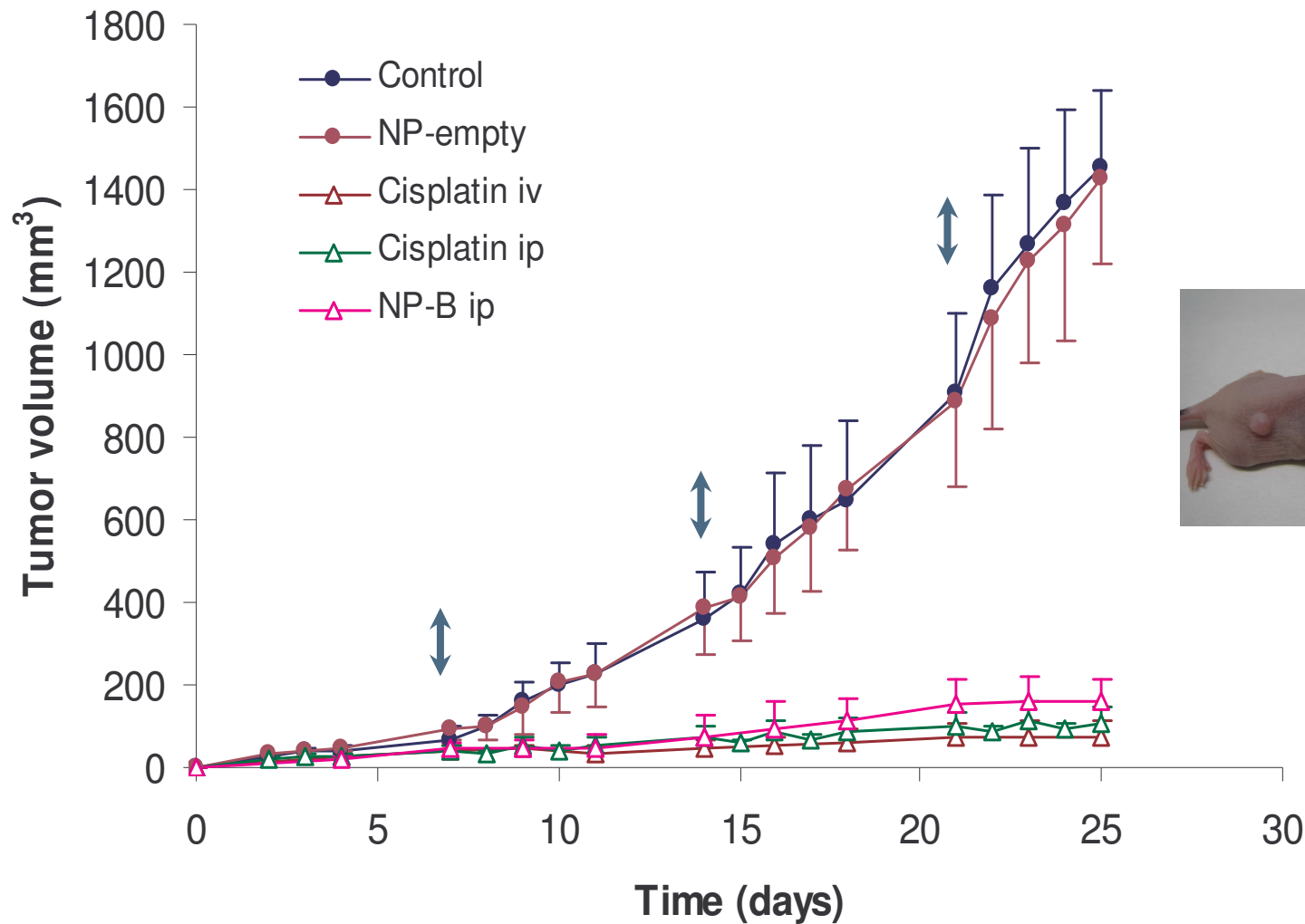
TOXICIDAD



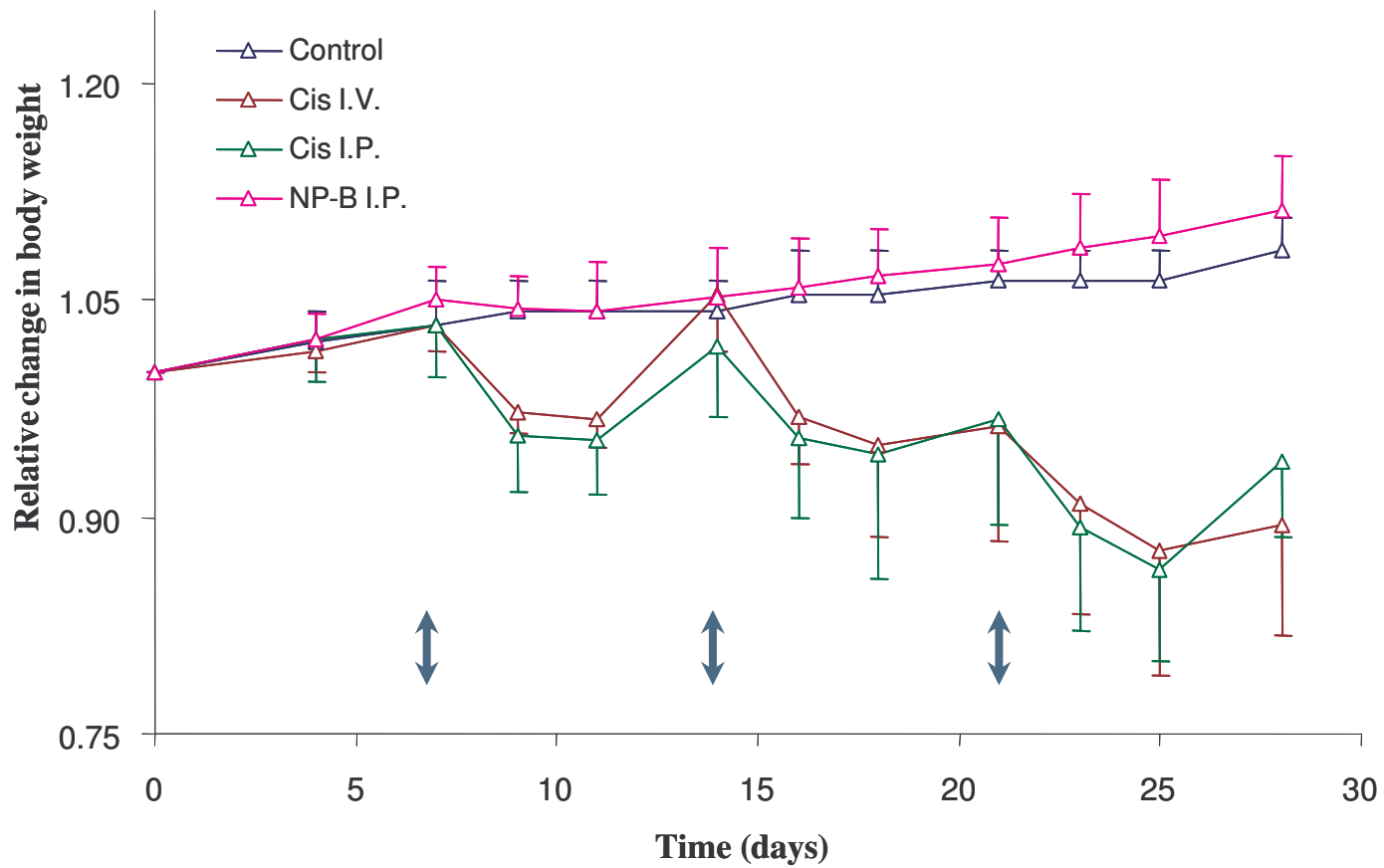
Perfiles temporales de las concentraciones plasmáticas de cisplatino



Evolución temporal del efecto antitumoral: cisplatino libre vs. encapsulado



Evolución temporal del efecto tóxico: cisplatino libre vs. encapsulado



Biodistribución del cisplatino y actividad apoptótica inducida en tumor

	<i>Drug levels</i> (μg cisplatin /g tissue)					<i>Caspase-3</i> (pg/ g tissue)
	Lung	Liver	Kidneys	Spleen	Tumor	Tumor
Control	n.a.	n.a.	n.a.	n.a.	n.a.	21.2 \pm 12.3 ^a
Cisplatin	0.4 \pm 0.2	3.6 \pm 1.3	5.1 \pm 1.4	2.3 \pm 1.4	1.1 \pm 0.6	46.1 \pm 26.0 ^b
Cisplatin-NP	0.4 \pm 0.1	2.1 \pm 0.9	5.9 \pm 1.9	6.5 \pm 1.8*	0.12 \pm 0.06*	98.8 \pm 23.8* ^{a,b}

NP: presentaron similar eficacia y menor toxicidad



Contents lists available at ScienceDirect

European Journal of Pharmaceutics and Biopharmaceutics

journal homepage: www.elsevier.com/locate/ejpb



Research paper

Pharmacodynamics of cisplatin-loaded PLGA nanoparticles administered to tumor-bearing mice

Daniel Moreno ^a, Sara Zalba ^a, Iñigo Navarro ^b, Conchita Tros de Ilarduya ^a, María J. Garrido ^{a,*}

^a Department of Pharmacy and Pharmaceutical Technology, University of Navarra, Pamplona, Spain

^b Department of Chemistry and Soil Science, University of Navarra, Pamplona, Spain